

名古屋工業大学 正員 ○ 長谷川 彰夫
 東京大学 正員 西野 文雄
 東京大学 正員 奥村 敏恵

1. 序 最近プレート・ガーダーのウェブの薄肉化が進みとともにそれに伴い水平補剛材の剛性評価が問題となっている。それに注目して、薄いウェブを持つプレート・ガーダーの曲げ耐荷力に関する、水平補剛材の有無、および剛性の大小、溶接残留応力などのように影響を与えるかについての実験的研究を行った。製作した桁は Table 1 (試験桁諸元), Table 2 (試験パネル諸元) に示す 7 体で鋼種は全て SM 41 である。試験桁のウェブの幅厚比 h/t_w は 250 (水平補剛材付ウェブの現行規定) と 350 (座屈安全率を 1.6 としたときの許容幅厚比) で Table 2 に示すようにそれぞれのシリーズに対し水平補剛材に関するパラメーターを変え、その影響を調べるとともに、水平補剛材の取り付け方の影響を調べるために桁 (B-35-1E), 残留応力の影響を調べるために応力焼純を施した桁 (B-35-1A) についても実験した。水平補剛材付桁 B-35-1E を除きウェブ両面に取り付け垂直補剛材とは溶接により接合している。桁 B-35-1E は片面取り付けとし、その影響がはっきり現われるように垂直補剛材との間に 5 mm の間隔をあけた。フランジは上下対称で全ての桁に対し同一断面 (225 × 9 mm, 突出脚幅厚比 $b/t_f = 12.5$) であり、試験パネルの辺長比 % も、1.5 として統一している。以上の試験桁を用いて二点載荷簡単曲げ耐荷力実験を実施した。

2. 実験結果と考察 実験により得られた耐荷力を試験桁の断面特性値とともに Table 3, 4 に示す。素材試験結果を Table 5 に示す。実験の状況を Photo 1 に、試験パネルの崩壊状況例を Photo 2 に示す。実験により得られた試験パネルのエーメントと曲率の関係を、実測残留応力を考慮した場合の座屈を無視した一次解析

の計算結果と

ともに Fig. 1

に示す。計算

曲線と実験曲

線の差が座屈

変形による断

面の剛性低下

の影響と判断

Table 3 Summary of Test Results

Test Girder	Sectional Properties (t=8)				Test Results				L. Stiff	
	Wall	Mf	Mp	MpD	Must	Pudy	Pust	Y/Y'	Area	As/A
<u>250 Series</u>										
B-25-0	24.0	39.9	47.6	52.7	14.0	40.0	41.0	40.0	0	0
B-25-1	(24.1)	39.8	47.8	56.7	Beyond	Mf	51.0	51.5	51.0	1.06
B-25-5	(24.1)	39.8	(49.0)	(52.7)	Mp	51.0	51.5	51.0	3.02	0.0444
B-25-5	(24.1)	39.6	47.5	55.8	Beyond	Mf	56.4	57.5	56.4	4.73
<u>350 Series</u>										
B-35-1	36.0	55.8	71.6	82.8		59.0	70.0	71.1	70.0	1.04
B-35-1	(36.1)	55.8	(71.8)	(81.2)		59.0	70.0	78.0	78.5	1.02
B-35-1A	(36.1)	55.8	(71.9)	(81.3)		59.0	67.0	68.1	67.0	0.94
B-35-E	(36.1)	55.9	71.7	82.3		59.0	77.5	78.5	77.5	4.94
B-35-5	(36.5)	55.9	(72.7)	(81.7)		59.0	77.5	78.5	77.5	7.60
										0.0917

Remarks 1) Mwall, Mf, Mp and MpD in parentheses are calculated, neglecting Stiff's Area

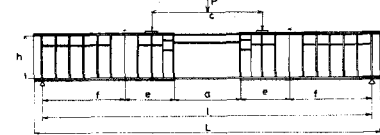
2) Applied Gy for My and Mp ; Static yield Stress, Gyst, of Flanges

3) Mwall for Mf : 125kg/cm (Ky, Spec. in Japan)

4) A : Total Area of I-Section (As+Aw)

Table 1. Dimensions of Specimens, unit: mm

Series	Test Girder	Test Panel	Side Panel	Support Panel	Load Distance	Span	Span Length	Web Depth
250	B-25-0	1200	500	1500	2000	6000	5300	800
	B-25-1	1600	910	1500	2500	6500	6800	1120
350	B-35-0	1200	500	1500	2000	6000	5300	800
	B-35-1	1600	910	1500	2500	6500	6800	1120
350	B-35-1E	1600	910	1500	2500	6500	6800	1120
	B-35-5	1600	910	1500	2500	6500	6800	1120



* Location of Bolt Joints.

Table 2 Dimensions of Test Panels

Test Girder	Flange 2b+tf	Web h/tw	Panel a	Test 2b/tf	h/tw	a/h	L. Stiff	Aw/Aw	unit mm
B-25-0	226×9.0	796×3.1	1193	25.2	257	1.50	1.22	1.22	
B-25-1	226×9.0	795×3.1	1193	25.2	257	1.50	1.21	1.21	33.6±4.5
B-25-5	226×9.0	796×3.1	1193	25.2	257	1.50	1.21	1.21	33.6±4.5
B-35-1	226×9.0	1114×3.1	1674	25.3	361	1.50	1.70	1.6	36.5±4.5
B-35-1A	226×9.0	1114×3.1	1674	25.3	359	1.50	1.71	1.71	36.7±4.5
B-35-1E	226×9.0	1115×3.1	1674	25.2	356	1.50	1.73	1.65	48.5±4.5
B-35-5	226×9.0	1115×3.1	1674	25.4	358	1.50	1.71	1.71	64.9±5.9

Test Girder	6-(As/Aw)	Y	* Y/Y'	L	n	Remarks
B-25-0	0.124	61.7	58.2	1.06	70300	
B-25-1	0.285	417.1	88.2	4.73	80120	10.7
B-25-5	0.285	417.1	88.2	4.73	87370	23.0
B-35-1	0.095	54.9	53.0	1.04	163300	14.0
B-35-1A	0.095	54.3	53.1	1.02	167000	11.1
B-35-1E	0.125	55.1	58.2	0.94	159305	9.5
B-35-5	0.219	376.0	76.1	4.94	720000	30.8

Remarks: 1) () : Lstiff: Area is ignored
 2) n: Distance from center to Neutral-Axis
 3) D: Double Sided Stiff., S: Single Sided Stiff.
 4) Y: Calculated by DIN 4114

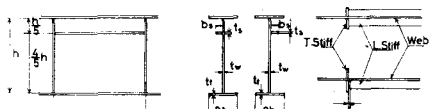


Table 4 Web Slenderness and Non-dimensionalized Moments

Test Girder	Y/tw	h/tw	M ₁ /M ₂	M ₃ /M ₂	M ₄ /M ₂	M ₅ /M ₂	M ₆ /M ₂	M ₇ /M ₂	unit
250 Series									
B-25-0	1.06	257	8.89	1.06	0.202	0.832	1.100	0.835	
B-25-1	4.73	257	8.89	Beyond	M ₂	0.833	1.098	1.063	0.968
B-25-5	356	257	8.89	Beyond	M ₂	0.833	1.098	1.177	1.072
350 Series									
B-35-1	1.02	359	12.31	0.882	0.779	1.131	0.975	0.862	
B-35-1A	0.98	356	12.24	0.821	0.779	1.131	0.975	0.862	
B-35-1E	0.94	356	12.14	0.822	0.779	1.132	0.933	0.824	
B-35-5	4.94	358	12.21	0.818	0.779	1.133	1.075	0.948	

Remarks 1) E in $\frac{E}{b/t_w \sqrt{V}}$: $2.1 \times 10^4 \text{ kg/cm}^2$, σ_y in $\frac{\sigma_y}{\sqrt{E}}$: Yield of Flanges

2) M₃ and M₅ in case of neglecting Stiff's Area are used

Table 5 Summary of Tensile Coupon Test Results

Girder Element	Thickness t mm	Load Gy kg/cm ²	Load Gy/kn/cm ²	Load Gy/kg/cm ²	E 10 ⁴ /cm ²
Web	3.1	3495	3350	4752	2.30
L. Stiff.	4.5 ± 1	2637	2474	4419	2.26
U. Stiff.	4.5 ± 1	2777	2616	4419	2.26
L. Stiff.	5.9 ± 2	2823	2700	4314	2.37
U. Stiff.	5.9 ± 2	2823	2700	4314	2.37

*1 B-25-1, B-35-1, B-35-1A, B-35-1E

*2 B-25-5, B-35-5

であります。

ウェブの幅厚比が250である250シリーズの試験を行なって初めてに考察する。桁B-25-0は水平補剛材を持たない桁で、完全に弾性座屈する場合である。実験によれば計算座屈モーメントの3倍近い耐荷モーメントが得られている。これは後座屈強度の大きいことを示しているとも言えるが、座屈モーメントの計算で、フランジとの境界を単純支持としてフランジねじれ剛性の効果を期待していないことにちよるものである。数値計算結果によれば、桁B-25-0のようにフランジ剛性がウェブ剛性に比較して極端に大きい場合にはその効果は大きく、固定条件としての座屈強度を十分に期待できる。しかし桁B-25-0の耐荷力は降伏モーメントを保持できず、いわゆるフランジ・モーメント程度に留まつてあり、水平補剛材の必要性を示唆していると言える。この実験値を無補剛桁の耐荷力に関するBasler²⁾、藤井の提案曲線と比較したのがFig. 2である。この結果によれば、両者の理論より実験値がかなり下回っている。この原因は両理論ともに垂直補剛材間隔の曲げ耐荷力に与える影響に対する検討がなされていないためと思われる。ウェブの座屈強度の立場からは垂直補剛材間隔はあまり意味を持たないが、ウェブ座屈後では圧縮フランジはいわば圧縮を受ける柱としての挙動をするものであり、その意味で圧縮フランジの面内変位を拘束する垂直補剛材の効果は大きい。本実験、Basler、藤井による理論値をかなり下回ったのは、ハネル辺長比を1.5と大きくとったためで、逆に言えば両者の理論を正当なものにするには、辺長比の制限、すなわち、垂直補剛材間隔の制限が必要であろう。

250シリーズで水平補剛材を有する桁B-25-1、B-25-5は両桁ともに計算上の座屈モーメントが降伏モーメントを超えている。実験においても降伏モーメントを超えた耐荷モーメントが得られており、その意味では現行規定の十分な安全性を示している。桁B-25-1はDIN4114で規定する水平補剛材最小剛比 β_0 を有するもので、桁B-25-5はそれに封し水平補剛材剛比を5倍にしたものであるが、補剛材のねじれ剛性の効果を無視した従来の弾性座屈理論のもとでは、ほとんど増えないはずの耐荷能力が実験値では約10%の耐力上昇を得ている。これは水平補剛材の場合には、ウェブに対し極端な不等間隔配置(△点)をとっているためにそのねじれ剛性の効果が大きいためである。補剛材剛性を高めることにより得られる耐力上昇は、それによる桁断面の断面積増加と比較しても十分大きなものであり、その意味で現行の最小剛比 β_0 よりも大きな剛性を現実の設計に採用すべきであると思われる。

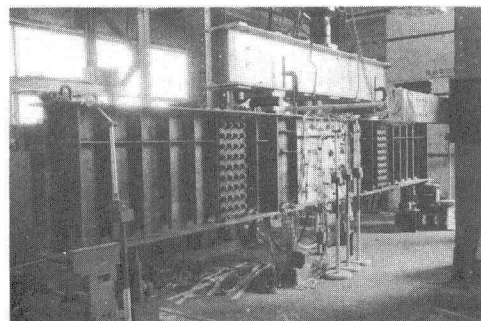
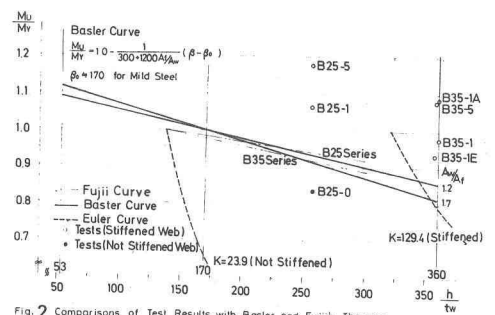
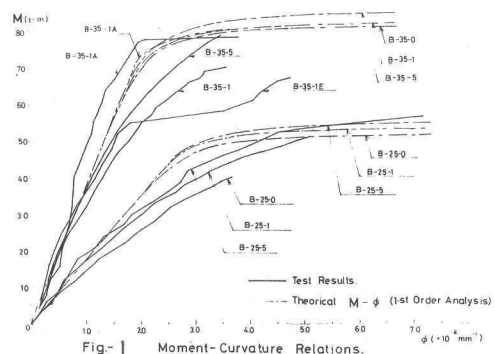


Photo 1 Test Alignments



Photo 2 Collapse Mode of Test Panel (B-35-1)



ウェブの幅厚比が 350 である 250 シリーズ試験行について考察す。このシリーズは全て水平補剛材を持つウェブ周辺単純支持と水平補剛材のねじれ剛性の効果を無視した弾性座屈モーメントは Table 4 に示すように降伏モーメントの 80% 程度であり、ほぼフランジエーメントと同じ値を持つ。実験によれば β の水平補剛材を持つ行 B-35-1 はほぼ降伏モーメントに相当する耐荷モーメントが得られており、変形性状も Fig. 2 の M- δ 関係に示すように 250 シリーズ補剛材行に比較して大きく劣化することはない。従って軟鋼材の場合水平補剛材を有する行ではウェブの幅厚比を 350 程度にしても降伏モーメントに達する以前にウェブの座屈变形による崩壊は生じないことがわかる。この場合耐荷力に関する安全率が許容応力度に関する基本安全率とほぼ同じになり、座屈に関する限りウェブ薄肉化許容の根拠をえ得るものと考えられる。水平補剛材の剛性を β の 5 倍にした行 B-35-5 は 250 シリーズの場合と同様に、行 B-35-1 に対し約 10% の耐荷力上昇を得ており、変形特性も同じ様に改善されといふことから 250 シリーズに対する考察が妥当なものであることを示している。

焼鍛行 B-35-1A は非焼鍛行 B-35-1 と同一断面を有する行であるが、行 B-35-1A は行 B-35-1 に比較して約 10% の耐荷力上昇を得ている。従来アーレート・ガーダーの曲げ耐荷力に対する残留応力はほとんど影響しないと考えられているが、これはウェブ幅厚比の小さい比較的 compact 断面に対するみ実験的に証明されていることと、本実験によればウェブ幅厚比の大きい Non-Compact 断面に対する曲げ耐荷力に影響を及ぼし、従ってそのような断面を持つ行は残留応力の存在により曲げ耐荷力が低下すると考えるべきである。行 B-35-1E は行 B-35-1 と同一の水平補剛材剛性を持つが、後者が両側補剛材であるに対し、前者は片側補剛材かつ垂直補剛材との間に間隔をあけて面内曲げの偏心性を顕著にし、その影響を調べたものである。その曲げ耐荷力は行 B-35-1 に比較して約 5% 低く得られており、このような偏心性が曲げ耐荷力に悪い影響を与えることを示している。これは補剛材の取り付けに関する細目としまして、アーレート・ガーダーの製作基準においても十分注意を払うべき問題である。

3. 結語 実験より得られた結論をまとめると次の通りである。

- DIN4114 に基く最小剛比 β^* の水平補剛材一本を配した行のウェブ座屈モーメントが降伏モーメントの 80% 程度になるようにウェブ幅厚比 β_{ew} を選ぶとそのアーレート・ガーダーはフランジの水平座屈、ねじれ座屈を生じない限り、降伏モーメントを越える曲げ耐荷能力を持つ。
- 水平補剛材を断面の曲げ耐荷能力に対し、より有効に働くようにするには、 β^* より大きな剛比を設計剛比とし与えた方がよく、 $5\beta^*$ 程度の剛性が最適であろう。
- 薄いウェブを持つ Non-Compact なアーレート・ガーダーにおいては残留応力は変形特性のみならず、曲げ耐荷能力にも悪い影響を与える。
- 無補剛アーレート・ガーダーの曲げ耐荷力に関する Basler, 藤井の理論は、垂直補剛材間隔に対する考慮がなく、従ってその間隔が大きい場合には、危険側の評価をしていい。水平補剛材を有する場合には常に安全側の評価とする。

- 参考文献 1) 長谷川彰夫、大田孝二、西野文雄：“補剛された板要素の座屈強度に関する二、三の考察” 土木学会論文報告集に投稿中
- 2) Basler, K. and Thurlimann, B. : "Strength of Plate Girder in Bending", Proc. ASCE, ST6, Vol. 87, 1961, pp. 153 ~ 181
- 3) 秋田好雄、藤井登喜男：“座屈と塑性を考慮した最小重量設計；第2報”，造船協会論文集 120号, 1966, pp. 156 ~ 164